

## مطالعه کارابی داده‌های ماهواره‌ای در بررسی کیفیت آب در دو سوی میانگذر دریاچه ارومیه

دکتر سید کاظم علوی پناه\* - دانشیار دانشکده جغرافیا، دانشگاه تهران

مهندس کمال خدائی\*\* - عضو هیئت علمی پژوهشکده علوم پایه کاربردی جهاد دانشگاهی، دانشگاه شهید بهشتی

دکتر منصور جعفر بیگلو - عضو هیأت علمی دانشکده جغرافیا، دانشگاه تهران

دریافت مقاله: ۸۳/۳/۱۷

تأیید نهایی: ۸۴/۱/۲۹

### چکیده

میانگذر دریاچه ارومیه به دلیل اتصال استان‌های آذربایجان شرقی و غربی به لحاظ اقتصادی و اجتماعی از اهمیت ویژه‌ای برخوردار است. اما این میانگذر ممکن است که موجب تأثیراتی بر کاهش ارتباط آب در دو سمت میانگذر باشد. بنابراین در این تحقیق سعی شده تا تأثیراتی میانگذر بر تغییرات کیفی آب شامل خواص شیمیایی، فیزیکی و بیولوژیکی مورد مطالعه قرار گیرد. در این مطالعه از داده‌های رقومی TM ماهواره لنست در دو زمان مختلف برای بررسی پارامترهای کیفی آب دریاچه و نقش میانگذر در توزیع این پارامترها استفاده شده است. برای این منظور از روش‌های ایجاد تصاویر رنگی کاذب (FCC) و بسط تباین، تهیه پروفیل‌های طیفی از باندهای انعکاسی و حرارتی سنجنده TM ماهواره لنست و انتخاب محدوده‌های کوچک به عنوان نمونه از ساحل دریاچه تا مرکز آن برای بررسی رفتار طیفی آب حاوی مواد چامد معلق و روش‌های پردازش تصویر دیگر، استفاده شده است. بر اثر نتایج حاصل از مطالعه پروفیل بازتاب‌های طیفی، اختلافات قابل توجهی در توزیع پارامترهای کیفی آب در دو سوی میانگذر مشاهده می‌گردد که احتمالاً ناشی از عدم ارتباط هیدرولیکی کامل بین دو سوی میانگذر از طریق بازه موجود می‌باشد. نتایج نشان می‌دهد که هم باندهای انعکاسی و هم باند حرارتی توانایی زیادی برای تشخیص اثر گل‌آولدگی و شوری دارند. باندهای TM<sup>۳</sup> و TM<sup>۶</sup> در مقایسه با باندهای دیگر انعکاسی نقش مهم تری در بازتاب‌های طیفی آب‌های شور و محتوى رسوب دارند.

وازگان کلیدی: میانگذر دریاچه ارومیه، داده‌های ماهواره‌ای، پارامترهای کیفی آب.

### مقدمه

دریاچه ارومیه بزرگ‌ترین مجموعه آبی بسته ایران بشمار می‌رود که در منطقه‌ای نیمه خشک با حوضه آبریزی معادل ۵۱۴۶ کیلومتر مربع واقع شده است (جلالی و نیکودل ۱۳۷۵). آب دریاچه دارای ترکیب شیمیایی با یون‌های محلول گوناگون نظیر  $\text{Ca}^{++}$ ,  $\text{Mg}^{++}$ ,  $\text{Na}^+$ ,  $\text{CO}_3^{--}$ ,  $\text{HCO}_3^-$  و  $\text{Cl}^-$  می‌باشد که از میان این ترکیبات،

\*E-mail: salavipa@chamran.ut.ac.ir

\*\* E-mail: khodaei@acecr.ac.ir

سدیم به عنوان فراوان ترین کاتیون بحساب می‌آید؛ در حالی که تمرکز آنیون‌ها در آن متفاوت است (غضبیان و طلوعی ۱۳۸۱). جریان آب ورودی به دریاچه ارومیه نه تنها تأمین کننده اصلی و ثابت مواد محلول به داخل دریاچه می‌باشد، بلکه به میزان فراوانی رسوبات آواری<sup>۱</sup> به دریاچه وارد می‌کند که به سه نوع آواری، رسوبات شیمیایی و بیوشیمیایی تقسیم می‌شوند. نتایج آب دریاچه ارومیه جزء شورابهای نوع  $\text{Na}-\text{Mg}-\text{SO}_4-\text{Cl}$  و به اختصار  $\text{Cl}-\text{SO}_4$  محسب می‌شود ( $\text{A}^{\text{گستر}}_{\text{گستر}}^{2}$ ).

احداث میانگذر در دریاچه ارومیه (بزرگراه شهید کلانتری) تغییراتی در سیستم طبیعی دریاچه بوجود آورده است. این تغییرات تنها به اثرات شیمیایی و زیستی محدود نمی‌شود؛ بلکه عواقب دیگری نظر تغییر در نحوه رسوب گذاری در داخل دریاچه و خشک شدن بخش‌هایی از دریاچه را بدنبال دارد. براساس مطالعات انجام شده با استفاده از تصاویر ماهواره‌ای در یک دوره چهارده ساله (صدقیان و بزرگ‌گر<sup>۲</sup> ۱۳۷۱) احداث جاده شهید کلانتری تغییراتی در روند فرآیند رسوب گذاری طبیعی آب قرار گرفته که علاوه بر مختل کردن نظم طبیعی چرخه آب و پراکنش ته نشینی مواد معلق، تغییراتی در روند طبیعی و وضعیت اکولوژیکی دریاچه داده است.

**نتایج مطالعات فیزیکوشیمیایی آب دریاچه ارومیه** که طی دو نوبت نمونه‌برداری در ایستگاه‌های پنجگانه جنوبشرقی و شمالغربی جاده شهید کلانتری صورت گرفته که در تصویر شماره (۱) نشان داده شده است (احمدی ۱۳۸۱).

نتایج این مطالعه نشان می‌دهد میزان هدایت الکتریکی در نیمه شمالی دریاچه بیشتر از نیمه جنوبی می‌باشد. بنابراین می‌توان نتیجه گرفت که املال موجود در آب در نیمه شمالی بیشتر از نیمه جنوبی است. نظریها (۱۳۸۱) با مقایسه پیامدهای احداث میانگذر خاکی شهید کلانتری برروی دریاچه ارومیه و خاکریز گریت سالت لیک<sup>۳</sup> در ایالت یوتا<sup>۴</sup> آمریکا نتیجه گیری نمود که قسمت شمالی دریاچه بیشتر از آب شور و قسمت جنوبی از طریق بازشدگی تغذیه می‌شود. میزان شوری آب قسمت شمالی حدود ۲۶ تا ۲۴ درصد و تقریباً دو برابر میزان شوری قسمت جنوبی می‌باشد. قسمت جنوبی، تراز سطح آب بالاتری نسبت به قسمت شمالی دارد. نامبرده از جمله دلایل شورتر بودن قسمت شمالی نسبت به جنوبی را ورود تقریباً تمام آب‌های جاری تازه از طریق آبراهه‌های متعدد به قسمت جنوبی می‌داند.

غاظت املال دریاچه با نوسانات تراز آب در تغییر می‌باشد. استفاده از داده‌های سنجش از دور برای استخراج اطلاعات از اقیانوس‌ها، دریاها و دریاچه‌ها از اهمیت زیادی برخوردار است. مطالعات نشان می‌دهد که تصاویر ماهواره‌ای کاربرد زیادی در مسائل کیفیت آب، ژرفانسنجی، شیلات و ماهیگیری تغییرات سطح آب‌ها و باتلاق‌ها، شبکه‌های آبیاری و سیلاب‌ها دارد. تاکنون تلاش‌های زیادی در خصوص استفاده از داده‌های ماهواره‌ای برای پیش‌بینی کیفیت آب صورت گرفته است. (کارپتر<sup>۵</sup> ۱۹۸۳)

<sup>1</sup>- Clastic sediment

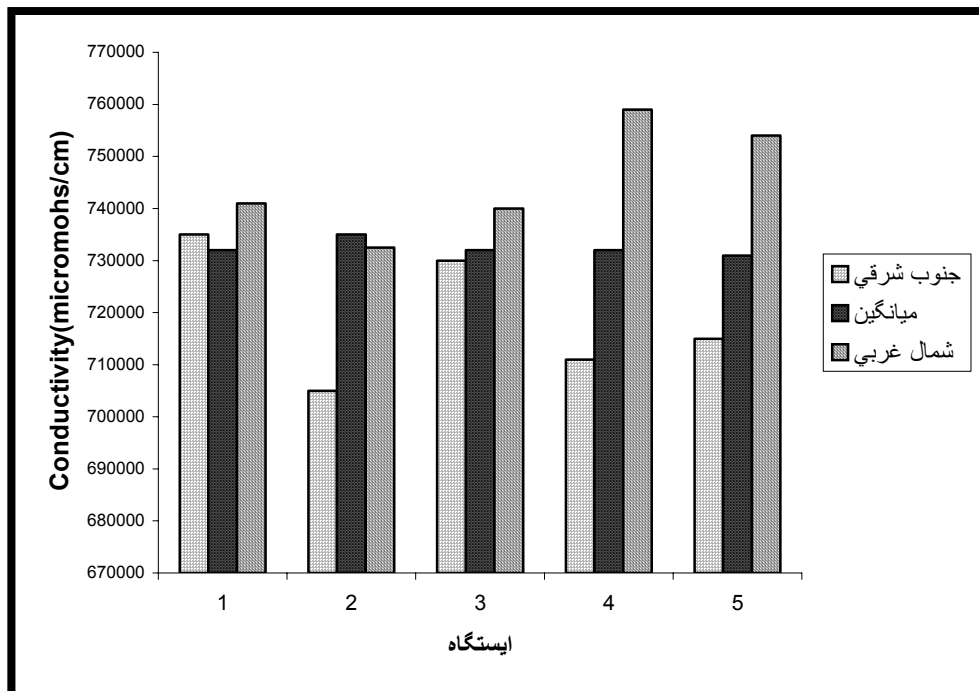
<sup>2</sup>- Eugster

<sup>3</sup> - Great Salt Lake

<sup>4</sup>- Utah

<sup>5</sup>- Carpenter

تصویر ۱- تغییرات میزان قابلیت هدایت الکتریکی آب دریاچه ارومیه در ایستگاه های پنجگانه جنوبشرقی و شمالغربی بزرگراه شهید کلانتری در مقایسه با میانگین کل ایستگاه ها در تاریخ ۱۳۸۰/۱۰/۲۵ (احمدی، محمد رضا ۱۳۸۱)



پارامترهای کیفی آب را برای دریاچه های آب شیرین جنوبشرق استرالیا با استفاده از داده های MSS مدل سازی کرد.  
 (خرم<sup>۱</sup> و چشایر<sup>۲</sup> ۱۹۸۵) برای تهیه نقشه شوری آب از داده های سنجنده MSS استفاده کردند.  
 (برکاوا<sup>۳</sup> و ماریام<sup>۴</sup> ۱۹۹۲) تأثیر توأم شوری و رسوبات جامد معلق را بر میزان انعکاس طیفی آب در آزمایشگاه مورد بررسی قرار داده و نتیجه گرفتند که میزان انعکاس با غلظت مواد معلق رابطه مستقیم و با سطح شوری رابطه عکس دارد.  
 بدین ترتیب که با افزایش شوری و کاهش مواد معلق، انعکاس طیفی کاهش یافته و با کاهش شوری و افزایش مواد معلق، انعکاس طیفی افزایش پیدا می کند.  
 (سروان<sup>۵</sup> ۱۹۹۳) با استفاده از داده های TM ماهواره لندست، پارامترهای کیفی آب مانند مواد جامد معلق، شوری، فسفر کل و دما را مورد مطالعه قرار داد و با استفاده از داده های میدانی رابطه بین باندهای سنجنده TM و پارامترهای کیفی آب را مدل سازی کرد. وی از این مدل ها برای پیش بینی و تهیه نقشه پارامترهای کیفی آب استفاده نمود. (لو<sup>۶</sup> و

<sup>1</sup>- Khorram

<sup>2</sup>- Cheshire

<sup>3</sup>- Bhrgava

<sup>4</sup> - Mariam

<sup>5</sup>- Serwan

<sup>6</sup>- Lo

همکاران ۱۹۹۷) حرارت چندین شهر را با استفاده از تصاویر حرارتی مادون قرمز با قدرت تفکیک مکانی بالا ارزیابی کردند. آب ظرفیت گرمایی بالایی دارد و بنابراین گرم ترین پدیده در ساعات اولیه بامداد می‌باشد (جانسون<sup>۷</sup>). کیفیت آب رودخانه‌ها و دریاچه‌ها و مدخل خلیج‌ها دائمًا تغییر می‌کند و دلیل آن تغییرات فصلی، پیوستن رودخانه‌ها، جریان آب زیرزمینی و ورود فاضلاب‌ها می‌باشد. با توجه به اهمیت کیفیت آب و همچنین آلودگی‌های محیطی نیاز به مطالعه دائم و پایش<sup>۸</sup> کیفیت آب احساس می‌شود. این مطالعه به منظور بررسی توانایی داده‌های TM ماهواره لندست برای شناسایی تغییرات ناشی از میانگذر دریاچه ارومیه و پایش این تغییرات با صرفه‌جویی در زمان و هزینه انجام شده است.

### مواد و روش‌ها

در این مطالعه از داده‌های TM ماهواره لندست با هفت باند طیفی (باند یک: ۰/۴۵-۰/۵۲ میکرومتر، باند دو: ۰/۵۲-۰/۶۹ میکرومتر، باند سه: ۰/۶۳-۰/۷۶ میکرومتر، باند چهار: ۰/۹-۰/۱۰ میکرومتر، باند پنجم: ۱/۰۵-۱/۰۷ میکرومتر، باند شش: ۱۰/۴-۱۲/۵ میکرومتر و باند هفت: ۲/۳۵-۲/۰۸ میکرومتر) از ماه مه ۱۹۹۸ و ماه آگوست ۱۹۹۰ استفاده شده است.

برای بررسی پارامترهای کیفی و تأثیر میانگذر بر توزیع آنها، روش‌های مختلف پردازش تصویر مورد استفاده قرار گرفته است. شناسایی محدوده پراکنش بار معلق با استفاده از تصاویر رنگی کاذب (RGB: ۳ و ۱ و ۷)، کنتراست تباین، تجزیه و تحلیل مؤلفه‌های اصلی و NDVI صورت گرفته، سپس جهت بررسی نقش میانگذر در توزیع بار معلق از پروفیل‌های طیفی در بخش‌های مختلف دریاچه استفاده شده است. برای مقایسه اطلاعات باندهای سنجدنده TM در شناسایی در مورد میزان و پراکنش بار معلق و شوری محدوده‌هایی<sup>۱</sup> به عنوان نمونه از نزدیک ساحل، دهانه تلخه رود، (Region1) تا مرکز دریاچه (Region5) انتخاب و پارامترهای آماری آنها محاسبه گردید. با ترسیم میانگین ارزش عددی پیکسل‌های واقع در هر محدوده در مقابل باندهای سنجدنده TM، باند (۳) به عنوان حساس‌ترین باند به تغییرات پارامترهای کیفی تشخیص داده شد (تصویر شماره ۲).

برای تعیین توزیع نسبی شوری و داده‌های حرارتی در طرفین میانگذر از پروفیل‌های طیفی در محدوده باندهای (۳ و ۶) سنجدنده TM استفاده شده است.

### نتایج و بحث

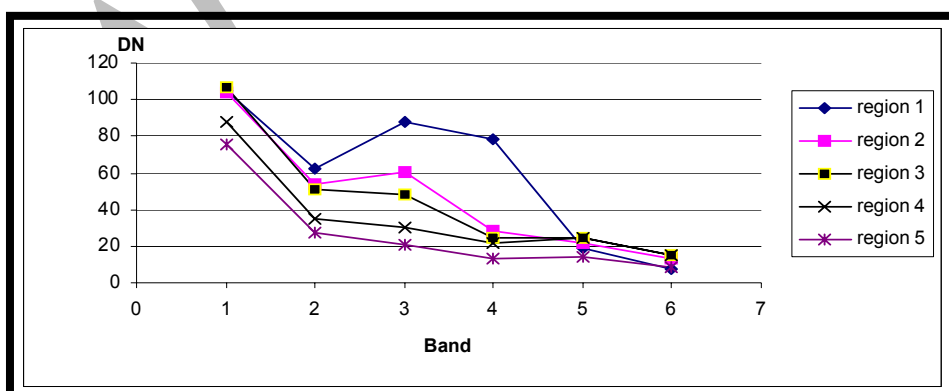
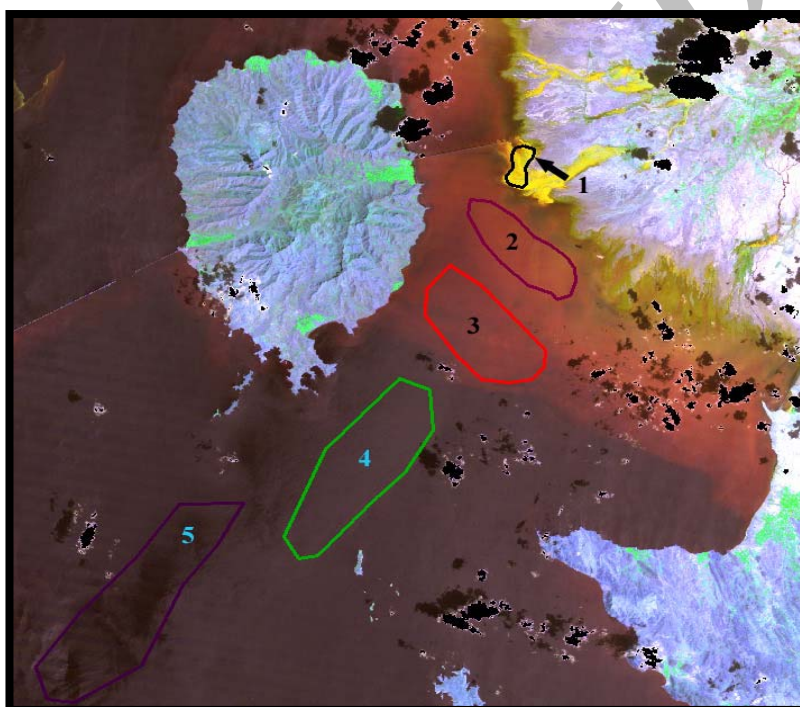
۱- رفتار طیفی مواد جامد معلق در آب و تأثیر میانگذر بر الگوی پراکنش بار معلق تصویر شماره (۳)، تصویر رنگی کاذب (RGB) از باندهای (۳ و ۱ و ۷) سنجدنده TM مربوط به سال ۱۹۹۸ را نشان می‌دهد. تصویر مذکور نشان می‌دهد که میزان قابل توجهی بار رسوبی از تلخه رود و زهکش‌های جزیره اسلامی در سمت شرق دریاچه و شهرچای و باراندوزچای از سمت غرب به دریاچه وارد می‌شود که بیانگر یک بارندگی سنگین در

<sup>7</sup>- Janson

<sup>8</sup>- Monitoring

<sup>۱</sup>- Region

زمان تصویربرداری ماهواره می باشد. چگالی بالای آب دریاچه ارومیه مانع از تهشینی سریع ذرات جامد معلق می شود که این عمل به نوبه خود در شناسایی تأثیر میانگذر در سیستم گردش آب دریاچه بسیار مفید می باشد. تصویر شماره (۳) نشان می دهد که جهت جریان بار معلق ورودی از قسمت جنوبی جاده ارتباطی تبریز-جزیره اسلامی به سمت شمال می باشد. همچنین بار معلق ورودی از رودخانه های ساحل غربی دریاچه در امتداد میانگذر از غرب به شرق حرکت کرده و از طریق بازه موجود در میانگذر به سمت شمال تغییر جهت می دهد. عوامل متعددی می توانند توزیع و پخش بار معلق را مهار کنند که از مهم ترین آنها می توان اختلاف شوری و غلظت نسبی، گرادیان هیدرولیکی، باد و درجه حرارت را نام برد. بنظر می رسد که میانگذر در بوجود آوردن این عوامل در شمال و جنوب خود نقش مؤثری داشته باشد.

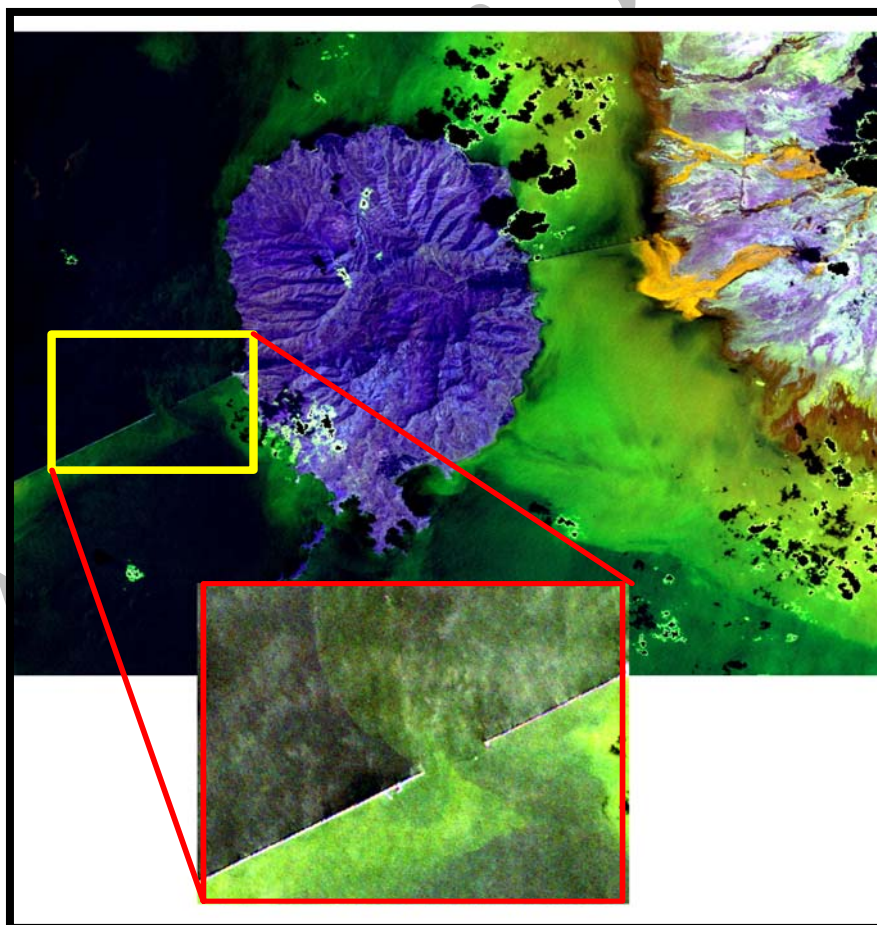


تصویر ۲- محدوده های انتخاب شده برای بررسی حساسیت باندهای TM به پارامترهای کیفی میانگین ارزش عددی پیکسل ها (DN) در مقابل باندها (به جز باند ۷) ترسیم شده است. (باند ۳ دارای بیشترین حساسیت می باشد).

پروفیل طیفی که عمود بر مسیر میانگذر تهیه شده است (تصویر شماره ۴)، اختلاف انعکاس مشخصی را بین بخش جنوبی و شمالی نشان داده و بیانگر این است که میانگذر به عنوان یک سد هیدرولیکی مانع از برقراری ارتباط کامل بین بخش شمالی و جنوبی می‌شود.

تصویر شماره (۵) پروفیل‌های طیفی تهیه شده از دو سمت جاده تبریز- جزیره اسلامی را نشان می‌دهد. همان‌گونه که از شکل پیداست، به دلیل اختلاف انعکاس قابل توجه بین بخش غنی از بار معلق و بخش فقیر از بار معلق در باند (۳) در پروفیل P2 که از سمت شمال جاده تهیه شده عملاً شمارش تعداد دهن پل‌ها امکان پذیر است.

تصویر (۶) پروفیل طیفی تهیه شده از باندهای (۳ و ۵) را در امتداد خط AB نشان می‌دهد. اختلاف انعکاس در دهانه ورودی تلخه رود کاملاً واضح است، لیکن نکته قابل توجه اختلاف انعکاس دهانه تلخه رود با سایر بخش‌های دریاچه در امتداد خط AB در باند ۵ TM می‌باشد. انعکاس پائین باند (۵) در این بخش با توجه به زمین‌شناسی حوضه آبریز تلخه رود و بازتاب طیفی کانی‌ها، به بار معلق حاوی مقدار فراوان کانی‌های رسی نسبت داده می‌شود.



تصویر ۳- پرآشنش بار معلق دریاچه ارومیه در محدوده میانگذر

## ۲- تأثیر میانگذر در توزیع شوری

- تصویر شماره (۷) پروفیل طیفی از باند (۳) داده های TM به تاریخ ۱۹۹۰ را از سمت جنوب (A) به سمت شمال (B) نشان می دهد که بیانگر کاهش میزان انعکاس از جنوب به شمال بوده و تغییر ناگهانی در محل میانگذر کاملاً مشهود است. داده های TM مربوط به سال ۱۹۹۰ به دلیل کم بودن مواد جامد معلق در آب و کاهش تراز آب دریاچه که به نوبه خود باعث افزایش میزان شوری و در نتیجه تأثیر بیشتر شوری بر انعکاس طیفی می شود، جهت بررسی تأثیر میانگذر بر توزیع شوری انتخاب شده است. بر گاوا<sup>۱</sup> و ماریام<sup>۲</sup> (۱۹۹۲) بیان می کنند که میزان انعکاس طیفی با شوری آب رابطه معکوس دارد. بدین ترتیب که با افزایش شوری آب از انعکاس طیفی کاسته می شود.

- بنابراین دلیل کاهش انعکاس طیفی در باند (۳) را از جنوب به شمال می توان به افزایش شوری نسبت داد و تغییر ناگهانی در محل میانگذر، به احتمال قوی به دلیل عدم ارتباط کامل آب در دو سمت میانگذر می باشد که احتمالاً مربوط به اختلاف شوری است. لازم به ذکر است که مواد معلق نیز بر انعکاس طیفی تأثیر می گذارند، ولی با توجه به زمان تهیه تصویر و موقعیت پروفیل تهیه شده، اثرات ذرات معلق را می توان بسیار ناچیز در نظر گرفت. با نمونه برداری میدانی از آب دریاچه و پیدا کردن رابطه میان TM و میزان شوری نمونه ها، نقشه شوری را می توان تهیه نمود. با این وجود، نمونه برداری میدانی برای کالیبره کردن داده های ماهواره ای جهت تخمین میزان شوری و تهیه نقشه شوری آب دریاچه ضروری بنظر می رسد.

در امتداد خط AB (تصویر شماره ۷) پروفیل طیفی از ۶ TM که مادون قرمز حرارتی است، تهیه شده است. داده های حرارتی باند (۶) نیز اختلاف محسوسی در بخش های شمالی و جنوبی نشان می دهد که شاهد دیگری بر تأثیر میانگذر بر سیستم گردش آب دریاچه ارومیه و عدم برقراری ارتباط کامل بین بخش شمالی و جنوبی دریاچه از طریق بازه موجود در میانگذر می باشد. البته اختلاف داده های حرارتی در بخش شمالی و جنوبی میانگذر می تواند به دلایل مختلف از جمله اثر خشکی جزیره دو طرف میانگذر باشد. این جزایر که یکی دارای پوشش گیاهی و دیگری بدون پوشش گیاهی است بر روی دمای آب منطقه مؤثر هستند. تاکنون معلوم شده است که داده های حرارتی می توانند مکمل داده های باندهای انعکاسی باشد (آلوفانا<sup>۱</sup> ۲۰۰۱). در سنجهش از دور حرارتی تابش های ساطع شده توسط اشیاء و پدیده های زمینی برای تخمین حرارت اندازه گیری می شود. از آنجائی که برای تفسیر داده های حرارتی لازم است تا عوامل مؤثر بر درجه حرارت جنبشی نیز شناخته شود، بنابراین برای پی بردن به اختلاف داده های دو سوی میانگذر، اثرات پوشش گیاهی بر روی درجه حرارت و ویژگی های حرارتی مواد جزیره، منابع حرارتی مانند حرارت خورشیدی، انتقال حرارت بین زمین و جو و خصوصیات حرارتی مواد شامل هدایت حرارتی، گرمای ویژه، چگالی، ظرفیت حرارتی و انتشار حرارتی مورد بررسی قرار گیرد. نظر به این که ماهیت داده های حرارتی و داده های انعکاسی متفاوت است (پراکاش<sup>۲</sup> ۱۹۹۹). بنابراین

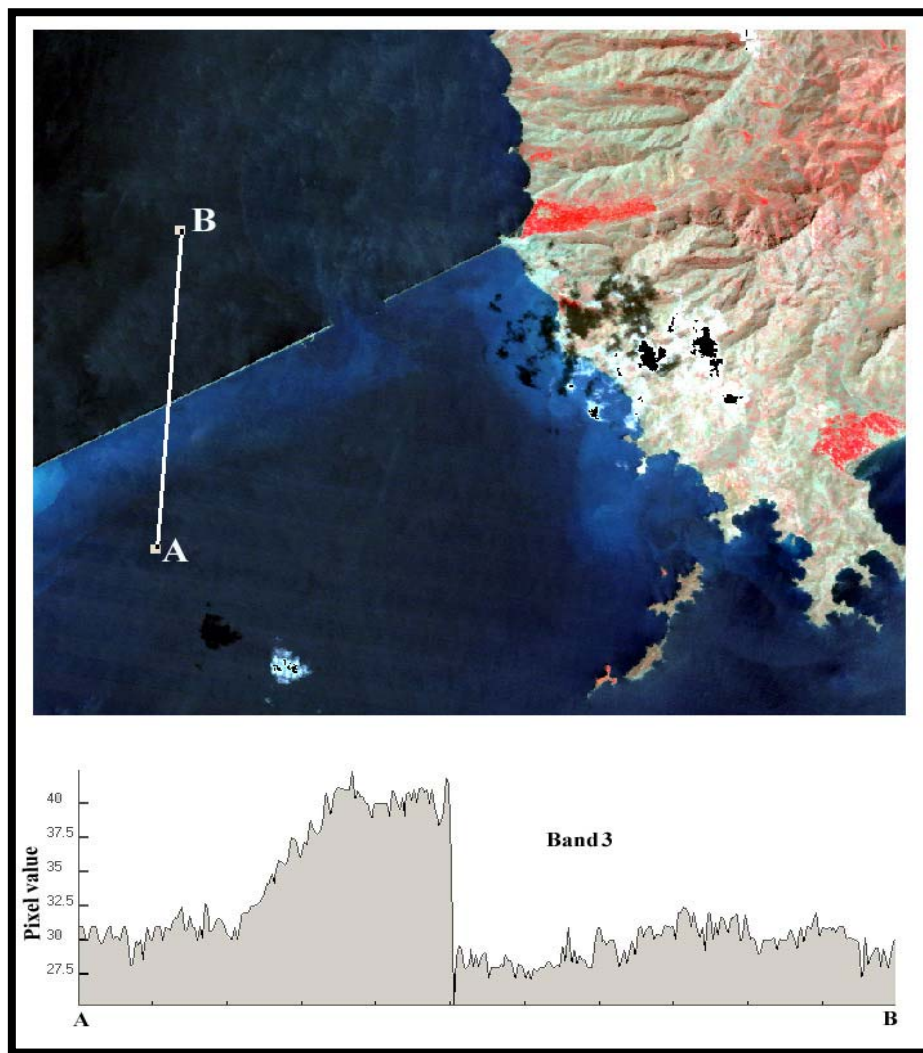
<sup>1</sup> - Bhrgava

<sup>2</sup> - Mariam

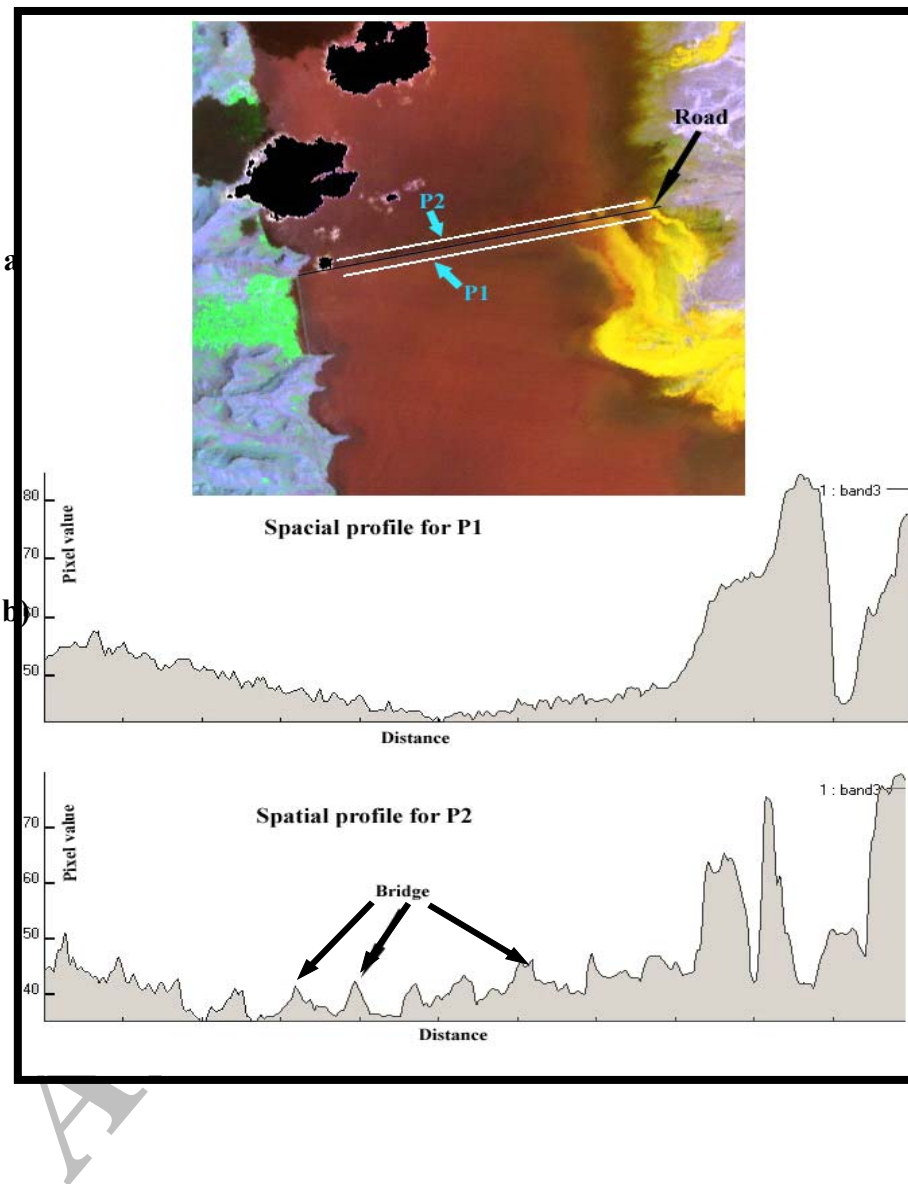
<sup>1</sup> - Alavipana

<sup>2</sup> - Prakash

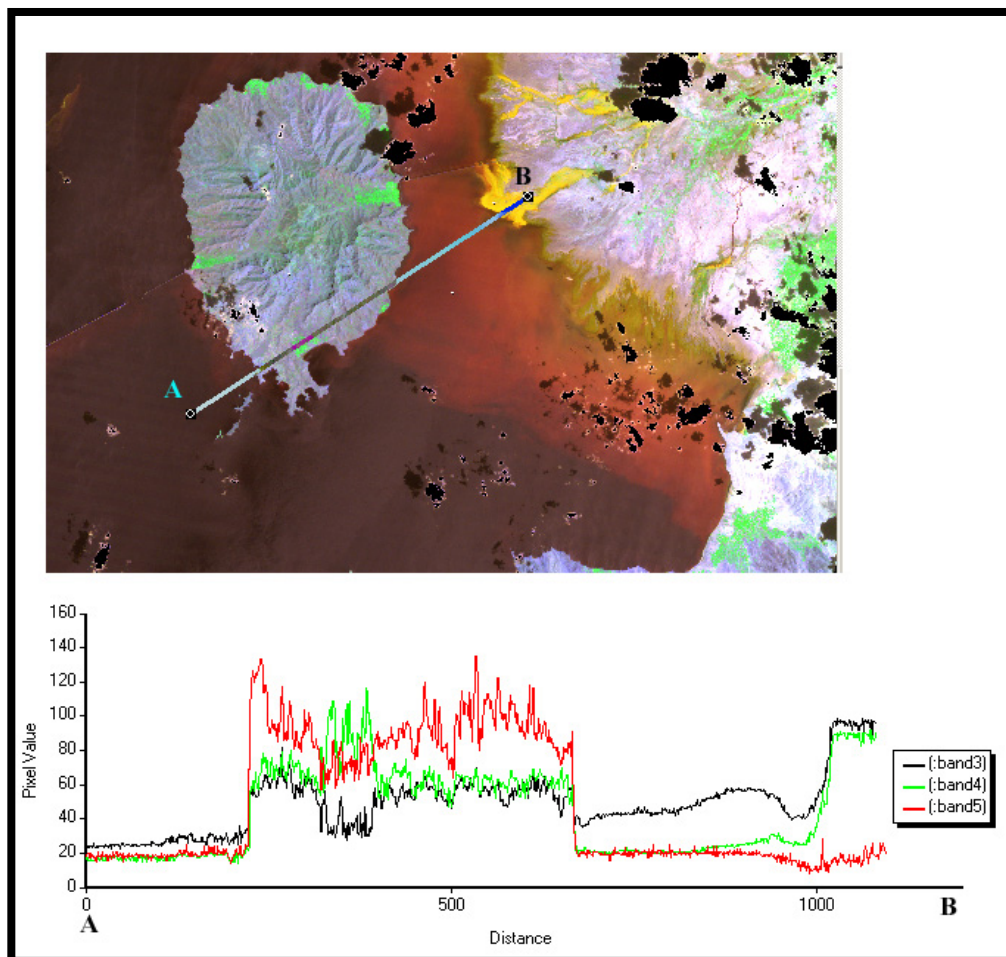
لازم است تا تحقیقات بیشتری روی رابطه باندهای حرارتی و انعکاسی صورت گیرد. در این رابطه علوفه‌بناه (۱۹۹۸، ۱۹۹۹ و ۲۰۰۰) نشان داد که رابطه معنی‌دار منفی بین شاخص پوشش گیاهی NDVI و باند حرارتی وجود دارد.



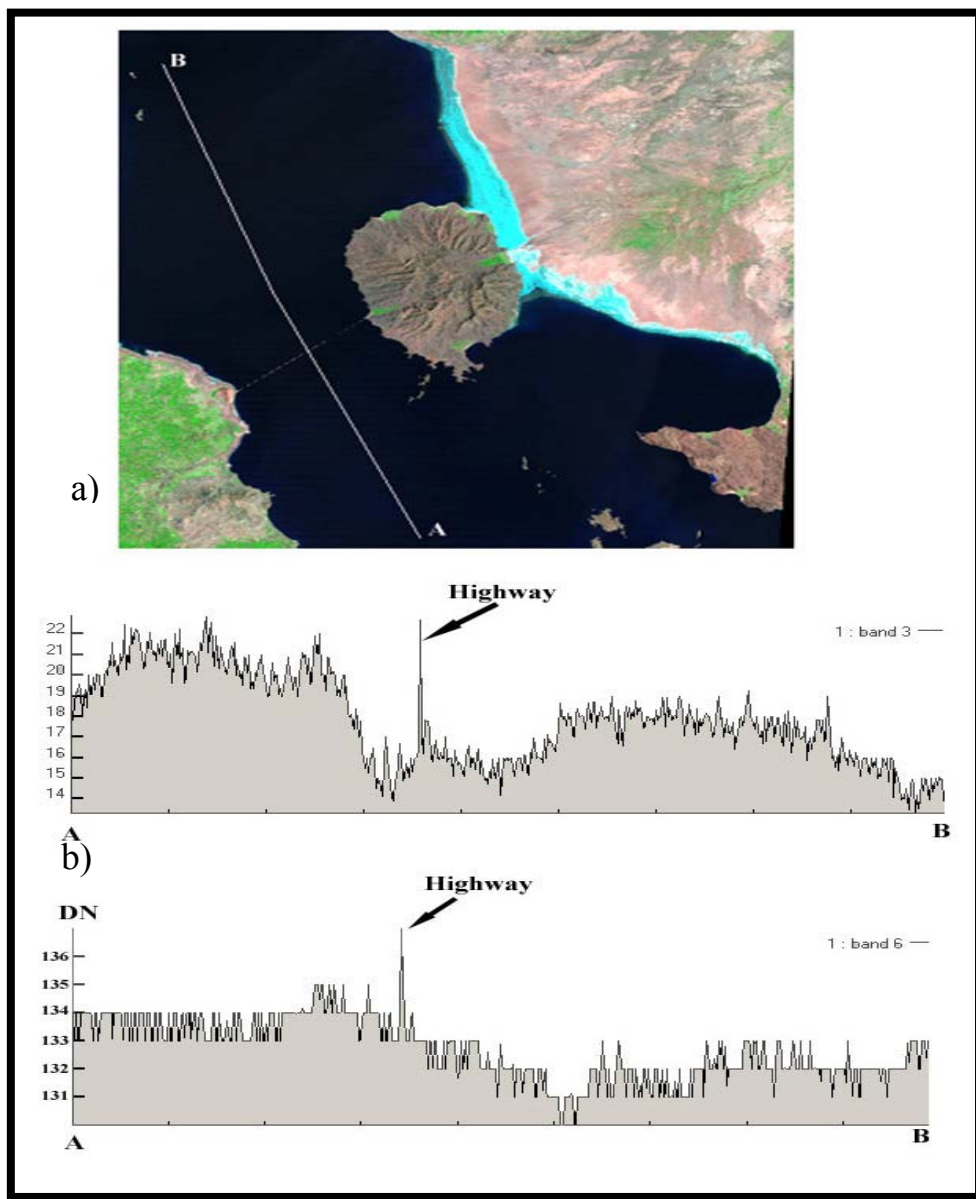
تصویر ۴- پروفیل طیفی که عمود بر مسیر میانگذر تهیه شده و بیانگر اختلاف انعکاس طیفی در شمال و جنوب میانگذر می‌باشد.



تصویر ۵-پروفیل های طیفی تهیه شده در امتداد مسیر جاده تبریز-جزیره اسلامی که جریان آب را از سمت جنوب به شمال شان می دهد. با توجه به اختلاف انعکاس آب وارد شده از سمت جنوب(a)، به سمت شمال(b)، شمارش تعداد پل ها امکان پذیر است(b).



تصویر ۶- پروفیل طیفی تهیه شده در امتداد خط AB که بیانگر رفتار متفاوت بار معلق وارد شده از تلمخ رود با سایر بخش های دریاچه به ویژه در باند (۵) می‌باشد.



شکل ۷- پروفیل طیفی که از جنوب به شمال دریاچه از باند ۳ (a) و باند ۶ (b) سنجنده TM تهیه شده و بیانگر اختلاف انعکاس طیفی و حرارتی در شمال و جنوب میانگذر می باشد.

### نتیجه‌گیری

- این مطالعه نشان می‌دهد که میانگذر دریاچه ارومیه برقراری ارتباط هیدرولیکی بین بخش شمالی و جنوبی دریاچه را بسیار محدود می‌کند.
  - داده‌های TM ماهواره لندست می‌توانند برای بررسی پارامترهای کیفی آب دریاچه مورد استفاده قرار گیرند؛ با این وجود برای کاربردهای کمی و تهیه نقشه پارامترهای کیفی، نمونه‌برداری میدانی برای کالیبره کردن داده‌های ماهواره‌ای ضروری می‌باشد.
  - بر اساس نتایج این مطالعه، باند(۳۰۶) سنجنده TM برای بررسی توزیع و پراکنش بار معلق و شوری مناسب تر از بقیه باندها می‌باشد.
  - بر اساس نتایج مطالعات، اغلب بار معلق ورودی دریاچه ارومیه از رودخانه‌های تلخه رود، شهرچای و باراندوزچای است که همه از نیمه جنوبی و نزدیک به میانگذر دریاچه تخلیه می‌گردند. آنچه از تصاویر ماهواره‌ای استنباط می‌شود، بار معلق وارد شده به دریاچه، عمدها در امتداد حاشیه جنوبی میانگذر تهشیش می‌شود.
  - پروفیل‌های طیفی از باندهای انعکاسی و حرارتی، تغییرات انعکاسی و حرارتی را از جنوب به شمال نشان می‌دهند که در محل میانگذر تغییر ناگهانی قابل مشاهده است.
- با توجه به نتایج حاصل از اثر غلظت رسوب و میزان شوری بر بازتاب‌های طیفی و مشکلات احتمالی آینده مبنی بر اثر میانگذر بر تغییر سیستم گردش آب دریاچه موارد زیر پیشنهاد می‌گردد:
- ۱) پارامترهای کیفیت آب به طور پیوسته نظارت شوند؛
  - ۲) مطالعه پارامترهای کیفیت آب و تعیین اثر بالقوه انسان‌ها روی سیستم آبی دریاچه ارومیه؛
  - ۳) مطالعه اکوسیستم‌های آبی از طریق تشخیص اثرات متقابل بین مشخصات بیولوژیکی، شیمیایی و هیدرولوژی.

### تشکر و قدردانی

این مقاله مستخرج از طرح تحقیقاتی تحت عنوان: مطالعه شوری و گل آلودگی توسط داده‌های ماهواره‌ای است که با حمایت مالی معاونت پژوهشی دانشگاه تهران انجام شده است که بدینوسیله از معاونت مذکور تشکر می‌شود. از معاونت پژوهشی پژوهشکده علوم پایه کاربردی جهاد دانشگاهی به خاطر در اختیار گذاشتن امکانات فنی، از مرکز سنجش از دور ایران که داده‌های ماهواره‌ای را فراهم نمودند و از همکاری جناب آقای مهندس فرخ بزرگ صمیمانه سپاسگزاری می‌گردد.

### منابع و مأخذ:

- ۱- جلالی، ح و نیکودل، م (۱۳۷۵)، دریاچه ارومیه از دیدگاه زمین‌شناسی مهندسی، اولین کنگره زمین‌شناسی دانشگاه‌های ایران، کرمان.
- ۲- طلوعی، ج و همکاران (۱۳۷۶)، هیدروشیمی دریاچه ارومیه، اولین همایش زمین‌شناسی دریایی ایران.

- ۳- احمدی، محمدرضا (۱۳۸۱)، جایگاه و نقش آریمتا در پل ارتباطی احداث شده در دریاچه ارومیه، همايش میانگذر دریاچه ارومیه و محیط زیست، ۲۰ - ۲۱ آذرماه ۱۳۸۱، دانشگاه تهران.
- ۴- غضبان، فریدون و طلوعی جواد(۱۳۸۱)، ویژگیهای رسوبی و هیدروشیمیایی دریاچه ارومیه و اثرات زیست محیطی آن. نشریه علوم زمین، شماره ۶، صص ۵۴-۶۵.
- ۵- نظریها، مهرداد (۱۳۸۱)، مقایسه پیامدهای احداث میانگذر خاکی شهید کلانتری بر روی دریاچه ارومیه و خاکریز گریت سایت لیک دریای یوتا آمریکا، همايش میانگذر دریاچه ارومیه، ۲۰ - ۲۱ آذرماه ۱۳۸۱، دانشگاه تهران.
- 6- Alavi Panah, S. K., Goossens, R. De Dapper, M., (1999), Study of soil salinity in the Ardakan area, Iran, based upon field observations and remote sensing, G.J.A. Nieuwenhuis, R. A. Vaughan and M. Molenaar (ed.), Operational Remote Sensing for Sustainable Development, Proceeding of 18th EARSeL Symposium, Enschede Netherlands, 11-14 May, 1998, 419-425.
- 7- Alavi Panah, S. K., Goossens, R., (1999), The role of TM thermal band in describing the state/stress of vegetation in the Iranian Deserts, Proceedings of remote sensing in the 21th Century Economics and Environmental applications, 19<sup>th</sup> EARSeL Symposium, University of Valladolid, Spain, 31 May – 2 June, 1999, 31-37.
- 8- Bhargava, D.S., and Mariam, D. W., (1992), Cumulative effects of salinity and sediment concentration on reflectance measurements, INT. J. Remote Sensing , 13, 2151-2159
- 9- Carpenter, D. J., and Carpenter, S. M., (1983), Modelling inland water using Landsat data, Remote Sensing of Environment, 13, 345-352
- 10- Eugster, P., (1980). Geochemistry & Evaporite Lacustrine Deposites. Ann. Rep. Earth Plant Sci-pp: 33-36
- 11- Janson, J. R., (2000), Remote Sensing of the Environment, an earth resources perspectives upper Saddle River, N. Y., Prentice\_Hall, Inc., 544 pp.
- 12- Khorram, S., and Cheshire, H. M., (1985), Remote sensing of water quality in the Mense River estuary, North Carolina, Photogrammetric Engineering and Remote Sensing, 51, 329-341
- 13- Prakish, A., (2000), Thermal Remote Sensing Concepts issues and applications, International Archives of Photogrammetry and Remote Sensing, Vol. XXXIII, Part B, Amsterdam.
- 14- Serwan, M. J. Baban, (1993), Detecting water quality parameters in the Norfolk Broads, U. K., using Landsat imagery, INT. J. Remote Sensing, 14, 1247-1267